

# Técnicas de Aprendizaje Estadístico

## Support Vector Machines

Mathias Bourel

IMERL - Facultad de Ingeniería, Universidad de la República, Uruguay

29 novembre 2018

# Plan

- 1 SVM : Caso Linealmente Separable.
- 2 SVM : Soft Margin.
- 3 SVM : Caso no separable - Núcleos
- 4 SVM multiclass
- 5 SVM y probabilidades a posteriori
- 6 SVM y regresión
- 7 Ejemplo en R.

# Presentación del Problema

## Datos :

- Dada la muestra de entrenamiento  $(\mathbf{x}_1, y_1), (\mathbf{x}_2, y_2), \dots, (\mathbf{x}_n, y_n)$  con  $\mathbf{x}_i \in \mathbb{R}^d$ , por ejemplo  $\mathbf{x}_i$  son características observadas en pacientes : *fiebre* > 38, *tos*, *dolor de cabeza*, *dolor articulaciones*, *irritación ojos*, *flujo nasal*, etc.
- la etiqueta  $y_i \in \{-1, 1\}$  indica, por ejemplo, la presencia o ausencia de *A/H1NM1 (gripe porcina)*.

## Objetivo

Construir una función de decisión que clasifique nuevos datos  $f : \mathbb{R}^d \rightarrow \{-1, 1\}$

## Diagnóstico

$f(\text{ nuevo paciente } )$

Buscar una frontera de decisión para clasificar nuevos ejemplos

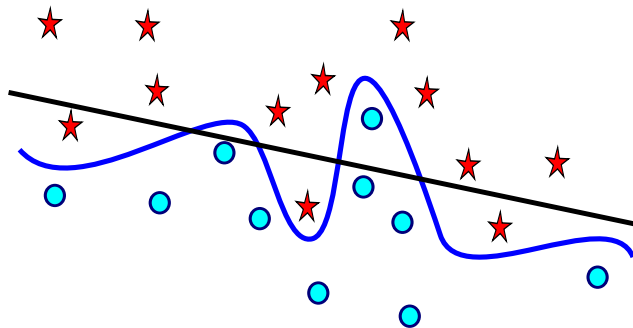


FIGURE – Los datos no son linealmente separables

## SVM Caso 1) Linealmente separables

Buscamos el “mejor” hiperplano que separe los datos, es decir, que “pase” lo mas lejos posible de todos ellos.

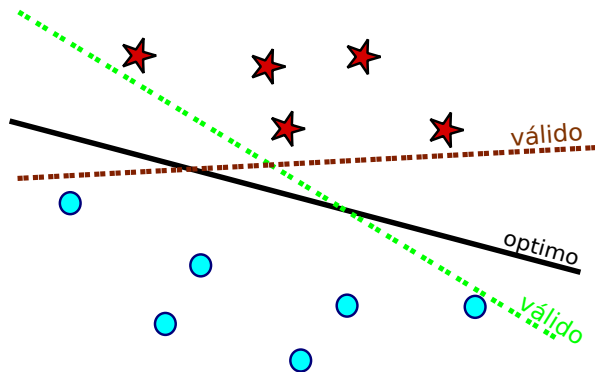


FIGURE – Los datos son linealmente separables, y hay infinitos hiperplanos que los separan

# SVM Caso 1) Linealmente separables

Tenemos datos  $(\mathbf{x}_1, y_1), (\mathbf{x}_2, y_2), \dots, (\mathbf{x}_n, y_n)$ ,  $\mathbf{x}_i \in \mathbb{R}^d$  e  $y_i \in \{-1, 1\}$ , sea  $\beta \in \mathbb{R}^d$  tal que  $\|\beta\| = 1$ , si  $H(\mathbf{x}) = \langle \beta, \mathbf{x} \rangle + \beta_0$  entonces  $d(\mathbf{x}_j, H_1) = |H(\mathbf{x}_j)|$ .

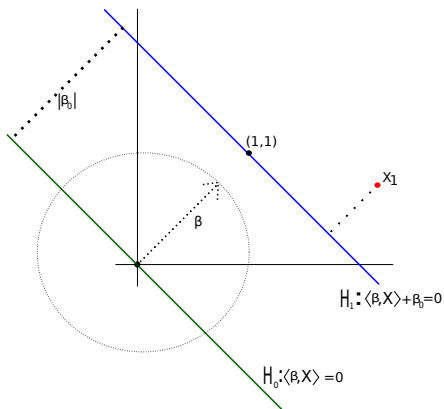


FIGURE – La distancia de  $\mathbf{x}_1$  a  $H_1$  es  $|H(\mathbf{x}_1)|$

- Una nueva observación estará bien clasificada si  $y_i H(\mathbf{x}_i) > 0$ .
- Los datos deben verificar que existe  $C > 0$  tal que  $\forall i, y_i(\langle \beta, \mathbf{x}_i \rangle + \beta_0) \geq C$ . La igualdad anterior se da cuando el dato está en alguno de los 2 hiperplanos  $\langle \beta, \mathbf{x}_i \rangle + \beta_0 \pm C = 0$ .

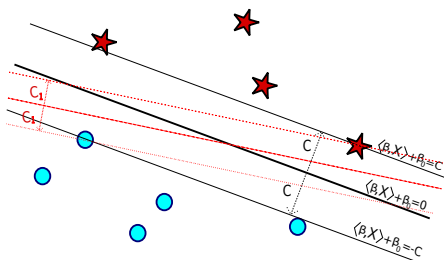


FIGURE – Si  $y_i H(\mathbf{x}_i) > 0$  el dato  $\mathbf{x}_i$  está bien clasificado

# SVM Caso 1) Linealmente separables

- Queremos determinar  $\beta$  y  $\beta_0$  de manera que el margen  $C$  sea lo más grande posible.
- Predicción : De qué lado del hiperplano se encuentra el nuevo dato ?

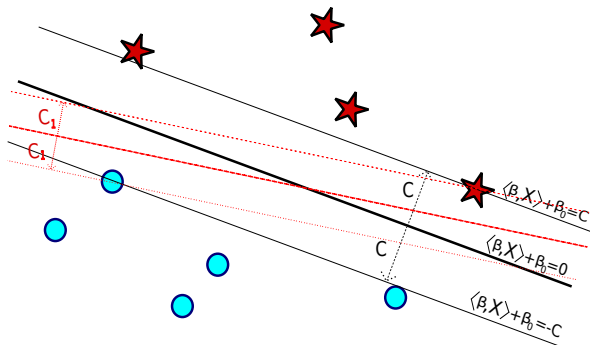


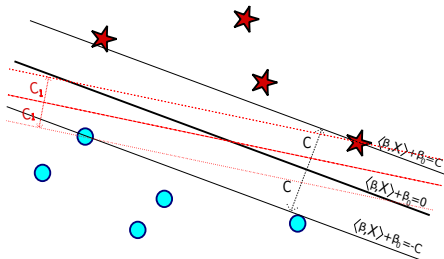
FIGURE – Si  $y_i H(\mathbf{x}_i) > 0$  el dato  $\mathbf{x}_i$  está bien clasificado

## Regla de clasificación

$$f(\mathbf{x}_{nue}) = \text{sgn}(\langle \beta, \mathbf{x}_{nue} \rangle + \beta_0).$$

# SVM Caso 1) Linealmente separables

Queremos resolver  $\begin{cases} \max_{\beta, \beta_0} C(\beta, \beta_0) \\ \text{sueto a} \\ y_i(\langle \mathbf{x}_i, \beta \rangle + \beta_0) \geq C(\beta, \beta_0) \quad \forall i = 1, \dots, n \\ \|\beta\| = 1, \beta_0 \in \mathbb{R} \end{cases}$



Si bien buscamos  $(\beta, \beta_0)$  que maximicen  $C(\beta, \beta_0)$ , éstos no tienen por qué ser únicos.

Como

$$\left\{ \mathbf{x} : \mathbb{R}^d : \langle \beta, \mathbf{x} \rangle + \beta_0 = 0 \right\} = \left\{ \mathbf{x} \in \mathbb{R}^d : \left\langle \frac{\beta}{C}, \mathbf{x} \right\rangle + \frac{\beta_0}{C} = 0 \right\}$$

Haciendo el cambio de variable

$$\tilde{\beta} = \frac{\beta}{C}, \quad \tilde{\beta}_0 = \frac{\beta_0}{C}, \quad \|\tilde{\beta}\| = \frac{1}{C}.$$

El problema equivale a  $P_1 = \begin{cases} \min_{\tilde{\beta}, \tilde{\beta}_0} \|\tilde{\beta}\| \\ \text{sujeto a} \\ y_i(\langle \mathbf{x}_i, \tilde{\beta} \rangle + \tilde{\beta}_0) \geq 1 \quad \forall i = 1, \dots, n \\ \tilde{\beta}_0 \in \mathbb{R}, \tilde{\beta} \in \mathbb{R}^d \end{cases}$

Observemos que el conjunto

$S = \{(\beta, \beta_0) \in \mathbb{R}^d \times \mathbb{R} : g_i(\beta, \beta_0) \leq 0\}$  con  $g_i(\beta, \beta_0) = 1 - y_i(\langle \mathbf{x}_i, \beta \rangle + \beta_0)$  es convexo. Esto se debe a que las funciones  $g_i$  son convexas.

(es una función que verifica :  $g(\alpha x + (1 - \alpha)y) \leq \alpha g(x) + (1 - \alpha)g(y) \quad \forall \alpha \in [0, 1]$ ).

Abusando de la notación si  $\tilde{\beta} = \beta$  y  $\tilde{\beta}_0 = \beta_0$ , el problema  $P_1$  es equivalente al problema

$$P_2 = \begin{cases} \min_{\beta, \beta_0} \frac{1}{2} \|\beta\|^2 \\ \text{sujeto a} \\ y_i(\langle \mathbf{x}_i, \beta \rangle + \beta_0) \geq 1 \quad \forall i = 1, \dots, n \\ \beta_0 \in \mathbb{R}, \beta \in \mathbb{R}^d \end{cases}$$

$P_2$  es un problema de optimización convexa que se resuelve considerando primero el *problema relajado* (que depende de  $\alpha$ ) :

$$P_\alpha = \begin{cases} \min_{\beta, \beta_0, \alpha} \mathcal{L}(\beta, \beta_0, \alpha) := \frac{1}{2} \|\beta\|^2 - \sum_{i=1}^n \alpha_i (y_i(\langle \mathbf{x}_i, \beta \rangle + \beta_0) - 1) \\ \text{sujeto a} \\ \alpha = (\alpha_1, \dots, \alpha_n) \geq 0 \end{cases}$$

Lo que se hace es resolver  $P_\alpha$  en función de  $\alpha$  y obtener así  $\hat{\beta}(\alpha)$  y  $\hat{\beta}_0(\alpha)$  y luego imponer condiciones (llamas condiciones de Karush-Kuhn-Tucker) para determinar el  $\alpha$  que haga que  $\hat{\beta}(\alpha)$  y  $\hat{\beta}_0(\alpha)$  sean soluciones de  $P_2$ . Estas condiciones son necesarias y suficientes para encontrar el óptimo.

Para resolver  $P_\alpha$ , como  $\mathcal{L}(\beta, \beta_0, \alpha)$  es convexa en  $\beta, \beta_0$  basta resolver

$$\nabla \left( \frac{1}{2} \|\beta\|^2 - \sum_{i=1}^n \alpha_i (y_i (\langle \mathbf{x}_i, \beta \rangle + \beta_0) - 1) \right) = \mathbf{0} \text{ sujeto a } \alpha \geq 0 :$$

$$\frac{\partial \mathcal{L}(\beta, \beta_0, \alpha)}{\partial \beta} = \beta - \sum_{i=1}^n \alpha_i y_i \mathbf{x}_i = \mathbf{0} \Rightarrow \beta = \sum_{i=1}^n \alpha_i y_i \mathbf{x}_i \quad (1)$$

$$\frac{\partial \mathcal{L}(\beta, \beta_0, \alpha)}{\partial \beta_0} = - \sum_{i=1}^n \alpha_i y_i = 0 \quad (2)$$

Las condiciones de  $K - T$  son

- a)  $y_i (\langle \mathbf{x}_i, \beta \rangle + \beta_0) - 1 \geq 0$  (los datos están bien clasificados)
- b)  $\alpha_i (y_i (\langle \mathbf{x}_i, \beta \rangle + \beta_0) - 1) = 0 \forall i$  ( $\alpha_i \neq 0$  sólo en los *support vectors*)
- c)  $\alpha \geq 0$

Dado que el problema de encontrar  $\beta, \beta_0, \alpha$  que verifiquen (1),(2) y a),b),c) es muy difícil lo que se hace es sustituir (1) y (2) en  $\mathcal{L}(\beta, \beta_0, \alpha)$ . Esto nos da un problema de optimización en  $\alpha$  (denominado problema dual).

Si sustituimos por (1) y (2) en  $\mathcal{L}(\beta, \beta_0, \alpha)$  obtenemos

$$\Phi(\alpha) = \sum_{i=1}^n \alpha_i - \frac{1}{2} \sum_{i,j=1}^n \alpha_i \alpha_j y_i y_j \langle \mathbf{x}_i, \mathbf{x}_j \rangle \quad (3)$$

El problema dual es

$$D = \begin{cases} \max_{\alpha} \Phi(\alpha) \\ \text{sujeto a} \\ \sum_{i=1}^n \alpha_i y_i = 0 \\ \alpha = (\alpha_1, \dots, \alpha_n) \geq 0 \end{cases}$$

Observemos que el problema anterior sólo depende de los productos escalares entre las observaciones.

## SVM Caso 1) Resolución del problema

Si  $\alpha^* = (\alpha_1^*, \alpha_2^*, \dots, \alpha_n^*)$  es la solución del problema, los vectores soporte son aquellos  $\mathbf{x}_i$  tales que  $\alpha_i^* > 0$ .

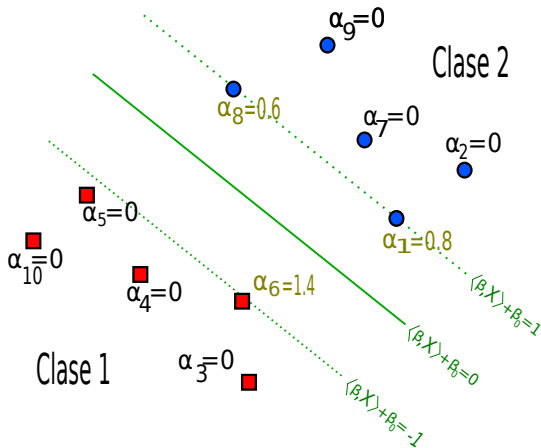


FIGURE – Los support vectors son  $\mathbf{x}_1$ ,  $\mathbf{x}_6$ ,  $\mathbf{x}_8$

## SVM Caso 1) Resolución del problema

Sea el conjunto de vectores soportes  $\mathcal{SV} = \{i \in \{1, \dots, n\} : y_i H(\mathbf{x}_i) = 1\}$  y  $N_{\mathcal{SV}} = |\mathcal{SV}|$  la cantidad de vectores soportes. Entonces :

$$\beta^* = \sum_{i=1}^n \alpha_i^* y_i \mathbf{x}_i = \sum_{i=1}^{n_S} \alpha_i^* y_i \mathbf{x}_i.$$

Aún no se ha obtenido el valor de  $\beta_0^*$ . Si  $(\mathbf{x}_{vs}, y_{vs}) \in \mathcal{SV}$  se tiene :

$$y_{vs} \left( \sum_{i \in \mathcal{SV}} \alpha_i y_i \langle \mathbf{x}_i, \mathbf{x}_{vs} \rangle + \beta_0 \right) = 1$$

Se multiplica por  $y_{vs}$  y se realiza la sumatoria :

$$\sum_{vs \in \mathcal{SV}} y_{vs}^2 \left( \sum_{i \in \mathcal{SV}} \alpha_i y_i \langle \mathbf{x}_i, \mathbf{x}_{vs} \rangle + \beta_0 \right) = \sum_{vs \in \mathcal{SV}} y_{vs}$$
$$\beta_0^* = \frac{1}{N_{\mathcal{SV}}} \sum_{vs \in \mathcal{SV}} \left( y_{vs} - \sum_{i \in \mathcal{SV}} \alpha_i y_i \langle \mathbf{x}_i, \mathbf{x}_{vs} \rangle \right)$$

Por lo tanto el clasificador final es :

$$f(\mathbf{x}) = \text{signo}(H(\mathbf{x})) = \text{signo} \left( \sum_{i \in \mathcal{SV}} \alpha_i^* y_i \langle \mathbf{x}_i, \mathbf{x} \rangle + \beta_0^* \right)$$

## SVM Caso 1) Resolución del problema

Obsérvese que  $\beta^*$  y  $\beta_0^*$  dependen únicamente de pocas observaciones de  $\mathcal{L}$ , los vectores de soporte, y no de todas las observaciones consideradas inicialmente.

Como  $\|\beta^*\|^2 = \langle \beta^*, \beta^* \rangle = \sum_{i,j=1}^n y_i y_j \alpha_i \alpha_j \langle \mathbf{x}_i, \mathbf{x}_j \rangle = \sum_{j \in \mathcal{SV}} \alpha_j y_j \underbrace{\sum_{i \in \mathcal{SV}} \alpha_i y_i \langle \mathbf{x}_i, \mathbf{x}_j \rangle}_{1 - y_j \beta_0^*}$  pues

$y_j \left( \sum_{i \in \mathcal{SV}} \alpha_i y_i \langle \mathbf{x}_i, \mathbf{x}_j \rangle + \beta_0^* \right) = 1$ , entonces :

$$\|\beta^*\|^2 = \sum_{j \in \mathcal{SV}} \alpha_j (1 - y_j \beta_0^*) = \sum_{j \in \mathcal{SV}} \alpha_j - \beta_0^* \underbrace{\sum_{j \in \mathcal{SV}} \alpha_j y_j}_0 = \sum_{j \in \mathcal{SV}} \alpha_j$$

y queda definido el margen a partir de los  $\alpha_j$  asociados a los vectores de soporte :

$$C^* = \frac{1}{\|\beta^*\|} = \left( \frac{1}{\sum_{j \in \mathcal{SV}} \alpha_j} \right)^{1/2}$$

- Encontrar el hiperplano óptimo que haga que el margen entre los datos sea máximo.
- Es un problema de optimización convexo.
- La solución solamente depende de los vectores de soporte : todos los demás datos pueden ser “olvidados”.
- La cantidad de vectores de soporte puede ser muy pequeña en relación a la cantidad de datos.
- La solución depende únicamente de los productos internos entre las observaciones.

# Plan

- 1 SVM : Caso Linealmente Separable.
- 2 SVM : Soft Margin.**
- 3 SVM : Caso no separable - Núcleos
- 4 SVM multiclass
- 5 SVM y probabilidades a posteriori
- 6 SVM y regresión
- 7 Ejemplo en R.

- Tolerancia en el margen (soft margin -margen blando-) :

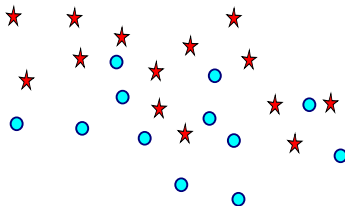


FIGURE – Soft Margin

- Caso no separable

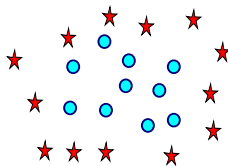


FIGURE – No separable

## SVM Caso 2) Soft Margin

### Idea

Para la mayoría de los datos hay margen, pero algunos cruzan la frontera.

De todos modos queremos encontrar un hiperplano “separador”. Introducimos variables de holgura (slacks)  $\xi_i \geq 0 \quad i = 1, \dots, n$ .

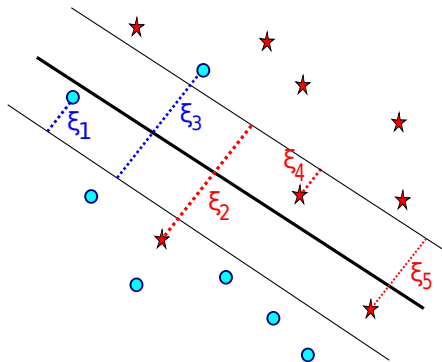


FIGURE – Si quitamos  $x_1, x_2, x_3, x_5$  es linealmente separable

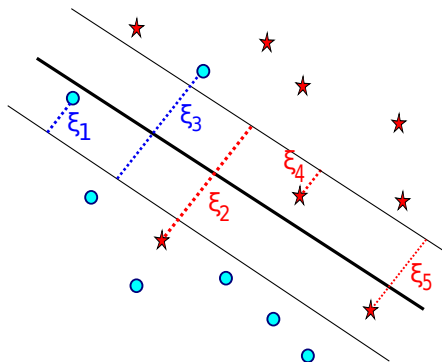


FIGURE – Si  $\xi_i > 1$  el dato  $i$  está del otro lado del hiperplano separador  $\langle \beta, \mathbf{x} \rangle + \beta_0 = 0$

Queremos que

$$y_i (\langle \beta, \mathbf{x}_i \rangle + \beta_0) \geq 1 - \xi_i \quad \forall i$$

$$\xi_i \geq 0 \quad \forall i$$

Las variables de holgura son una medida de desviación con respecto a la condición inicial :

- Si  $0 \leq \xi \leq 1$  el dato está del lado correcto del hiperplano pero en la región del margen.
- Si  $\xi > 1$  el dato está del lado equivocado del hiperplano.

Introducimos en el problema un factor de penalización  $\gamma$ .

Si  $\gamma$  es grande estamos penalizando más los errores (permitimos pocos) y por lo tanto el margen es más chico, mientras que si  $\gamma$  es chico el margen es más grande (permitimos más errores).

El problema consiste ahora en resolver :

$$\left\{ \begin{array}{l} \min_{\beta, \beta_0, \xi} \frac{1}{2} \|\beta\|^2 + \gamma \sum_{i=1}^n \xi_i \quad (*) \\ \text{sujeto a} \\ y_i (\langle \beta, \mathbf{x}_i \rangle + \beta_0) \geq 1 - \xi_i \quad i = 1, \dots, n \\ \xi_i \geq 0 \quad i = 1, \dots, n \end{array} \right.$$

Lo dicho anteriormente puede verse de forma geométrica. Si  $\gamma$  es variable de la función en (\*) tenemos una función lineal de  $\gamma$  y como  $\sum_{i=1}^n \epsilon_i \geq 0$ , dicha función es creciente.

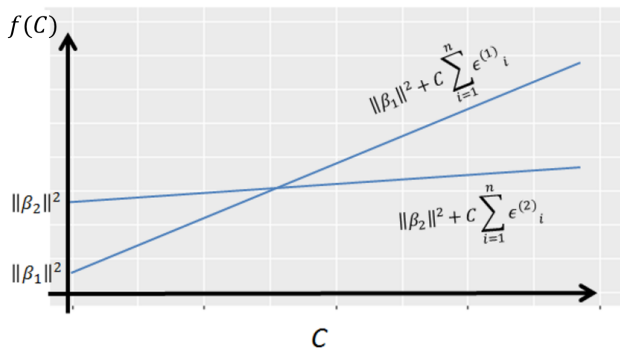


FIGURE – Relación entre el valor del costo y la amplitud del margen.

Si  $\gamma$  es grande se toma la recta 2, y en este caso  $\sum_{i=1}^n \epsilon_i^{(2)} < \sum_{i=1}^n \epsilon_i^{(1)}$  (ya que la recta 2 tiene menor pendiente que la recta 1) y a su vez  $\|\beta_2\|^2 > \|\beta_1\|^2$ . Esto significa que el margen correspondiente a la recta 2 tendrá una menor amplitud que el margen correspondiente a la recta 1 ( $\|\beta\|$  es el inverso del margen), y por ende se tolerarán menos errores conllevando a un posible sobreajuste. Sucede lo contrario si se toma un  $\gamma$  pequeño.

Si definimos

$$Q(\beta, \beta_0, \xi, \alpha, \varphi) := \frac{1}{2} \|\beta\|^2 + \gamma \sum_{i=1}^n \xi_i - \sum_{i=1}^n \alpha_i (y_i (\langle \mathbf{x}_i, \beta \rangle + \beta_0) - 1 + \xi_i) - \sum_{i=1}^n \varphi_i \xi_i \quad (4)$$

El problema relajado es

$$P_{\alpha, \varphi} = \begin{cases} \min_{\beta, \beta_0, \xi, \alpha, \varphi} Q(\beta, \beta_0, \xi, \alpha, \varphi) \\ \text{sujeto a} \\ \alpha, \varphi, \xi \geq 0 \end{cases}$$

Las condiciones KKT son

- a)  $\alpha_i (y_i (\langle \beta, \mathbf{x}_i \rangle + \beta_0) - 1 + \xi_i) = 0 \quad i = 1, \dots, n$
- b)  $\varphi_i \xi_i = 0 \quad i = 1, \dots, n$
- c)  $\alpha_i \geq 0, \quad \varphi_i \geq 0, \quad \xi_i \geq 0 \quad i = 1, \dots, n$

Para encontrar el problema dual planteamos

$$\frac{\partial Q}{\partial \beta} = 0 \quad \frac{\partial Q}{\partial \beta_0} = 0 \quad \frac{\partial Q}{\partial \xi} = 0$$

y obtenemos

$$\beta = \sum_{i=1}^n \alpha_i y_i \mathbf{x}_i \quad \sum_{i=1}^n \alpha_i y_i = 0 \quad \alpha_i + \varphi_i = \gamma \quad \forall i = 1, \dots, n \quad (5)$$

Sustituimos (4) en (3) y obtenemos el problema dual :

$$D = \begin{cases} \max_{\alpha} \sum_{i=1}^n \alpha_i - \frac{1}{2} \sum_{i,j} \alpha_i \alpha_j y_i y_j \langle \mathbf{x}_i, \mathbf{x}_j \rangle \\ \text{sujeto a} \\ \sum_{i=1}^n y_i \alpha_i = 0 \\ 0 \leq \alpha_i \leq \gamma \quad i = 1, \dots, n \end{cases}$$

# Plan

- 1 SVM : Caso Linealmente Separable.
- 2 SVM : Soft Margin.
- 3 SVM : Caso no separable - Núcleos**
- 4 SVM multiclass
- 5 SVM y probabilidades a posteriori
- 6 SVM y regresión
- 7 Ejemplo en R.

# SVM Caso 3) No separable- Núcleos

## Idea

Enviar a través de una función  $\Phi$  (no necesariamente lineal) los datos  $\mathbf{x}_i \in \mathbb{R}^d$  a un espacio de dimensión mayor, posiblemente infinita (espacio de característica, *feature space*) donde los datos son linealmente separables o con un poco de ruido.

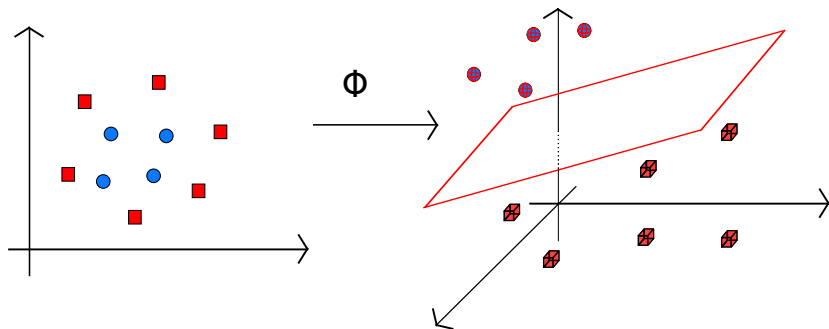


FIGURE – Los datos en  $\mathbb{R}^2$  no son linealmente separables pero podemos tomar  $\Phi : \mathbb{R}^2 \rightarrow \mathbb{R}^3$  de modo que en  $\mathbb{R}^3$  sean linealmente separables, (existe un subespacio que los separa)

- <https://www.youtube.com/watch?v=3liCbRZPrZA>
- Es importante observar que al resolver el problema de optimización que planteamos anteriormente, sólo intervienen los productos escalares entre los datos para encontrar  $\beta$  y  $\beta_0$ .
- Definimos  $k(\mathbf{x}_i, \mathbf{x}_j) = \langle \Phi(\mathbf{x}_i), \Phi(\mathbf{x}_j) \rangle$
- Trabajar en el espacio de característica se reduce al caso lineal sustituyendo los  $\langle, \rangle$  por  $k(, )$ .
- Lo que haremos será dar una función simétrica  $k : \mathbb{R}^d \times \mathbb{R}^d \rightarrow \mathbb{R}$  definida positiva :

$$\forall n \quad \sum_{i,j=1}^n h_i h_j k(\mathbf{x}_i, \mathbf{x}_j) \geq 0 \quad \forall \mathbf{x}_1, \dots, \mathbf{x}_n, h \in \mathbb{R}^d$$

en lugar del mapa  $\Phi$ , veamos que efectivamente existe tal  $\Phi$ .

## Theorem 1

**(Teorema de Mercer)** Dada  $k : \mathbb{R}^d \times \mathbb{R}^d \rightarrow \mathbb{R}$  definida positiva entonces existe un espacio de Hilbert  $(H, \langle \cdot, \cdot \rangle_H)$  y una función  $\Phi : \mathbb{R}^d \rightarrow H$  tal que

$$k(\mathbf{x}_i, \mathbf{x}_j) = \langle \Phi(\mathbf{x}_i), \Phi(\mathbf{x}_j) \rangle_H \quad \forall \mathbf{x}_i, \mathbf{x}_j \in \mathbb{R}^d$$

## Ejemplos de Núcleos

- Lineal :  $k(\mathbf{x}, \mathbf{x}') = \langle \mathbf{x}, \mathbf{x}' \rangle$
- Polinomial :  $k(\mathbf{x}, \mathbf{x}') = (c_1 + c_2 \langle \mathbf{x}, \mathbf{x}' \rangle)^d$
- Gaussiano (radial) :  $k(\mathbf{x}, \mathbf{x}') = \exp(-\sigma \|\mathbf{x} - \mathbf{x}'\|^2)$
- Laplace (radial) :  $k(\mathbf{x}, \mathbf{x}') = \exp(-\sigma \|\mathbf{x} - \mathbf{x}'\|)$
- ANOVA (radial)  $k(\mathbf{x}, \mathbf{x}') = \left( \sum_{k=1}^d \exp(-\sigma(x_k - x'_k)^2) \right)^d$
- Otros : Bessel, Splines.

# Ejemplo

Sean los siguientes puntos en  $\mathbb{R}$ ,  $A = x_1 = 1$ ,  $B = x_2 = 2$ ,  $C = x_3 = 4$ . Claramente este conjunto no es separable por un punto. Se considera la función  $\Phi : \mathbb{R} \rightarrow \mathbb{R}^3$  tal que  $\Phi(x) = (x^2, \sqrt{2}x, 1)$ .

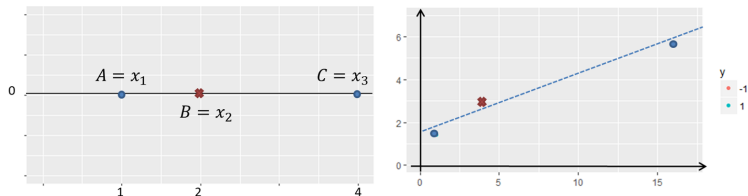


FIGURE – A la izquierda ejemplo de observaciones en  $\mathbb{R}$  no separables. A la derecha los mismos puntos luego de mapearlos en  $\mathbb{R}^3$ , siendo separables en esta nueva dimensión.

Evaluando los puntos en la función  $\Phi$  :

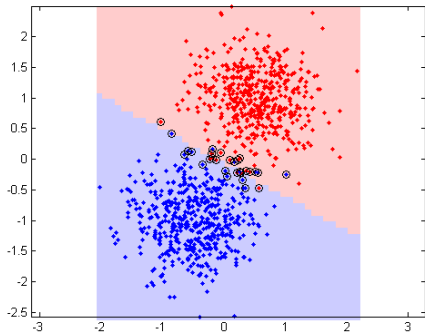
$$\begin{cases} \Phi(x_1) = (1, \sqrt{2}, 1) \\ \Phi(x_2) = (4, 2\sqrt{2}, 1) \\ \Phi(x_3) = (16, 4\sqrt{2}, 1) \end{cases}$$

El producto interno quedará de la forma :

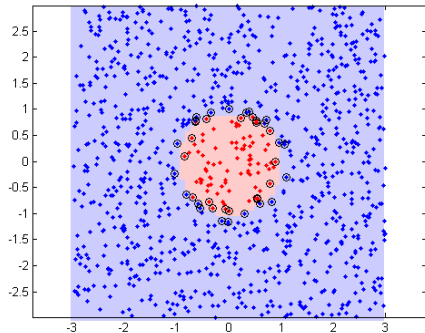
$$\langle \Phi(x_i), \Phi(x_j) \rangle = x_i^2 x_j^2 + \sqrt{2}x_i \sqrt{2}x_j = x_i^2 x_j^2 + 2x_i x_j + 1 = (x_i x_j + 1)^2 = k(x_i, x_j)$$

siendo  $k$  el kernel polinomial de grado 2. De esta forma se logra separar las observaciones que en el espacio original no eran separables mapeando las mismas en un espacio de dimensión mayor.

- El Kernel Gaussiano y de Laplace se usan generalmente cuando no se tiene información a priori de los datos.
- El Kernel lineal se usa para *large sparse data*, ejemplo analisis de textos, cada palabra es un dato.
- Los Kernels polinomiales son usados en procesamiento de imagenes. ANOVA y Splines se desempeñan bien en problemas de regresión.
- Validación cruzada para elegir el kernel : Tomar subconjuntos de  $n - p$  datos para construir el modelo y evaluarlo en los  $p$  restantes.



Kernel Lineal



Kernel Radial

De forma análoga a como hicimos en el caso lineal, el problema dual es

$$D = \begin{cases} \max_{\alpha} \sum_{i=1}^n \alpha_i - \frac{1}{2} \sum_{i,j} \alpha_i \alpha_j y_i y_j k(\mathbf{x}_i, \mathbf{x}_j) \\ \text{sujeto a} \\ \sum_{i=1}^n y_i \alpha_i = 0 \\ 0 \leq \alpha_i \leq \gamma \quad i = 1, \dots, n \end{cases}$$

y las condiciones de *KKT* son

- a)  $\alpha_i \left\{ y_i \left( \sum_{j=1}^n y_j \alpha_j k(\mathbf{x}_i, \mathbf{x}_j) + \beta_0 \right) - 1 - \xi_i \right\} = 0 \quad i = 1, \dots, n$
- b)  $(\gamma - \alpha_i) \xi_i = 0 \quad i = 1, \dots, n$
- c)  $\alpha_i \geq 0, \quad \xi_i \geq 0 \quad i = 1, \dots, n$

Clasificador

$$f(\mathbf{x}_{nue}) = \text{sgn} \left( \sum_{i=1}^n \alpha_i y_i k(\mathbf{x}_i, \mathbf{x}_{nue}) + \beta_0 \right)$$

Ejemplo :  $\{(x_i, y_i)\}_{i=1, \dots, 5} = \{(1, 1), (2, 1), (4, -1), (5, -1), (6, 1)\}$

- $k(x, x') = (1 + xx')^2$
- Factor de penalización :  $\gamma = 100$ .

Resolviendo el problema dual se encuentran

$$\alpha_1 = 0, \quad \alpha_2 = 2.5, \quad \alpha_3 = 0, \quad \alpha_4 = 7.333, \quad \alpha_5 = 4.833$$

por lo tanto los vectores soporte son  $x_2, x_4$  y  $x_5$ . La función  $h$  es

$$h(x) = 2.5 \times 1 \times (1 + 2x)^2 + 7.333 \times -1 \times (1 + 5x)^2 + 4.833 \times 1 \times (1 + 6x)^2 + \beta_0$$

Como  $x_2$  es un vector soporte debe verificarse que  $h(2) = 1$  (análogamente  $h(5) = -1$ ) obtenemos  $\beta_0 = 9$ .

Clasificador

$$f(x) = \text{sgn}(0.666x^2 - 5.333x + 9)$$

$$f(x) = \text{sgn}(0,666x^2 - 5,333x + 9)$$

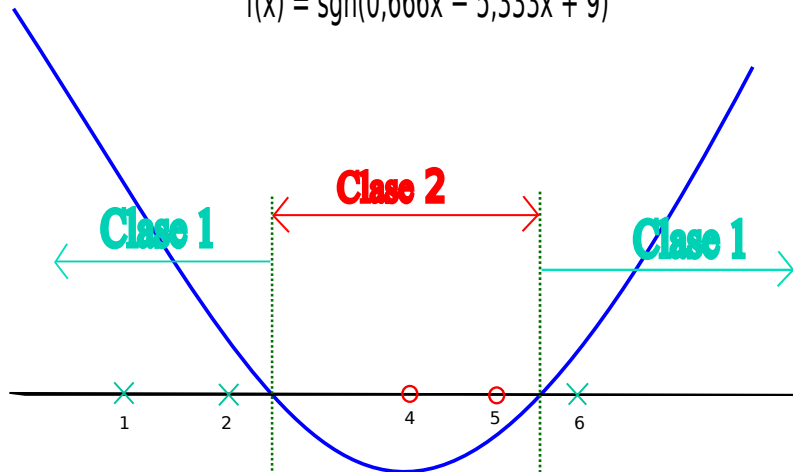


FIGURE – Los datos en  $\mathbb{R}$  se separan considerándolos en  $\mathbb{R}^2$

Escenario	Problema primal a optimizar
Linealmente separable	$\begin{cases} \min_{\beta} & \frac{1}{2} \ \beta\ ^2 \\ \text{s.a} & y_i H(\mathbf{x}_i) - 1 \geq 0 \end{cases}$
Cuasi-separable	$\begin{cases} \min_{\beta, \epsilon} & \frac{1}{2} \ \beta\ ^2 + C \sum_{i=1}^n \epsilon_i \\ \text{s.a} & y_i H(\mathbf{x}_i) + \epsilon_i - 1 \geq 0 \\ & \epsilon_i \geq 0 \quad i = 1, 2, \dots, n \end{cases}$
No separable	$\begin{cases} \min_{\beta, \epsilon} & \frac{1}{2} \ \beta\ ^2 + C \sum_{i=1}^n \epsilon_i \\ \text{s.a} & y_i H(\mathbf{x}_i) + \epsilon_i - 1 \geq 0 \\ & \epsilon_i \geq 0 \quad i = 1, 2, \dots, n \end{cases}$

TABLE – Comparación de los problemas primales para los distintos escenarios.

Escenario	Problema dual a optimizar
Linealmente separable	$\left\{ \begin{array}{l} \max_{\alpha} \sum_{i=1}^n \alpha_i - \frac{1}{2} \sum_{i=1}^n \sum_{j=1}^n \alpha_i \alpha_j y_i y_j \langle \mathbf{x}_i, \mathbf{x}_j \rangle \\ \text{s.a} \sum_{i=1}^n \alpha_i y_i = 0 \end{array} \right.$
Cuasi-separable	$\left\{ \begin{array}{l} \text{máx} \sum_{i=1}^n \alpha_i - \frac{1}{2} \sum_{i=1}^n \sum_{j=1}^n \alpha_i \alpha_j y_i y_j \langle \mathbf{x}_i, \mathbf{x}_j \rangle \\ \text{s.a} \sum_{i=1}^n \alpha_i y_i = 0 \\ 0 \leq \alpha_i \leq C \end{array} \right.$
No separable	$\left\{ \begin{array}{l} \text{máx} \sum_{i=1}^n \alpha_i - \frac{1}{2} \sum_{i=1}^n \sum_{j=1}^n \alpha_i \alpha_j y_i y_j k(\mathbf{x}_i, \mathbf{x}_j) \\ \text{s.a} \sum_{i=1}^n \alpha_i y_i = 0 \\ 0 \leq \alpha_i \leq C \end{array} \right.$

TABLE – Comparación de los problemas duales para los distintos escenarios.

Escenario	Clasificador
Linealmente separable	$\text{signo}(H(\mathbf{x})) = \text{signo}\left(\sum_{l \in S^V} \alpha_l^* y_l(\mathbf{x}_l, \mathbf{x}) + \beta_0^*\right)$
Cuasi-separable	$\text{signo}(H(\mathbf{x})) = \text{signo}\left(\sum_{l \in S^V} \alpha_l^* y_l(\mathbf{x}_l, \mathbf{x}) + \beta_0^*\right)$
No separable	$\text{signo}(H(\mathbf{x})) = \text{signo}\left(\sum_{l \in S^V} \alpha_l^* y_l k(\mathbf{x}_l, \mathbf{x}) + \beta_0^*\right)$

TABLE – Comparación de los clasificadores para los distintos escenarios.

Escenario	Vectores de soporte
Linealmente separable	Observaciones de cada clase más cercanas al hiperplano separador. Aquellas que tienen asociado un $\alpha_j > 0$ .
Cuasi-separable	Observaciones que tienen asociado un valor de $\alpha_j > 0$ y se encuentran : <ul style="list-style-type: none"> <li>• sobre los hiperplanos canónicos (<math>0 &lt; \alpha_j &lt; C</math> y <math>\epsilon_j = 0</math>),</li> <li>• dentro del margen, estén bien o mal clasificadas (<math>0 &lt; \epsilon_j &lt; 2</math> y <math>\alpha_j = C</math>),</li> <li>• fuera del margen y mal clasificadas (<math>\epsilon_j \geq 2</math> y <math>\alpha_j = C</math>).</li> </ul>
No separable	Observaciones que tienen asociado un valor de $\alpha_j > 0$ y se encuentran : <ul style="list-style-type: none"> <li>• sobre los hiperplanos canónicos (<math>0 &lt; \alpha_j &lt; C</math> y <math>\epsilon_j = 0</math>),</li> <li>• dentro del margen, estén bien o mal clasificadas (<math>0 &lt; \epsilon_j &lt; 2</math> y <math>\alpha_j = C</math>),</li> <li>• fuera del margen y mal clasificadas (<math>\epsilon_j \geq 2</math> y <math>\alpha_j = C</math>).</li> </ul>

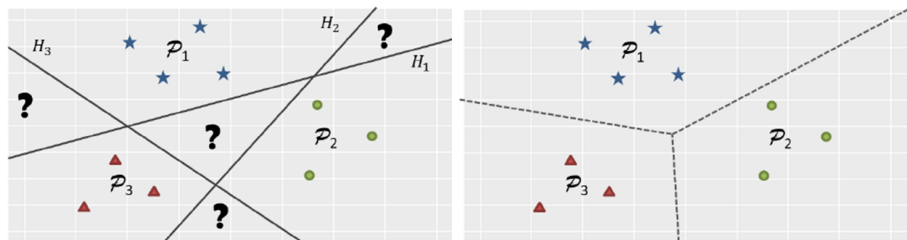
TABLE – Comparación de las condiciones necesarias para las observaciones que son vectores soporte en los distintos escenarios.

# Plan

- 1 SVM : Caso Linealmente Separable.
- 2 SVM : Soft Margin.
- 3 SVM : Caso no separable - Núcleos
- 4 SVM multiclass**
- 5 SVM y probabilidades a posteriori
- 6 SVM y regresión
- 7 Ejemplo en R.

# SVM multiclass : una contra todas

Se construyen  $K$  clasificadores binarios, uno para cada clase.

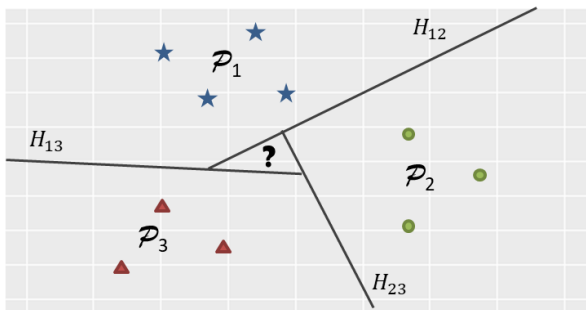


**FIGURE** – Descripción gráfica de la estrategia *one vs all*. En la izquierda se muestra un ejemplo con 3 subpoblaciones  $\mathcal{P}_1$ ,  $\mathcal{P}_2$ , y  $\mathcal{P}_3$ , junto con los 3 hiperplanos separadores. Se marca las zonas de indeterminación con un signo de pregunta. A la derecha se muestra como queda la frontera de decisión al tomar el criterio de *winner takes all*.

Una nueva observación  $\mathbf{x}_0$  se clasificará en una de las  $K$  poblaciones de la manera siguiente : si  $\mathbb{P}^{(g_k)}(\mathbf{x}_0)$  denota la probabilidad a posteriori de que  $\mathbf{x}_0$  pertenezca a la población  $\mathcal{P}_k$ , se asignará a  $\mathbf{x}_0$  la clase  $k$  para la cual  $\mathbb{P}^{(g_k)}(\mathbf{x}_0)$  es máxima.

# SVM multiclass : una contra una

Un clasificador binario  $g_k$  para cada par de clases, en total  $\binom{K}{2}$ .



**FIGURE** – Descripción gráfica de la estrategia *one versus one*. Se muestran las 3 subpoblaciones  $\mathcal{P}_1$ ,  $\mathcal{P}_2$ , y  $\mathcal{P}_3$ , junto con los hiperplanos separadores  $H_{ij}$  donde  $ij$  indica las poblaciones que separa dicho hiperplano. Una nueva observación  $\mathbf{x}_0$  se etiqueta según la clasificación más frecuente.

Una nueva observación  $\mathbf{x}_0$  se clasifica utilizando cada uno de los clasificadores binarios  $g_k$  construidos y se asigna  $\mathbf{x}_0$  a aquella clase más frecuente. En caso de empate se asigna la clase de forma aleatoria.

Es la estrategia que usa el paquete e1071 para SVM.

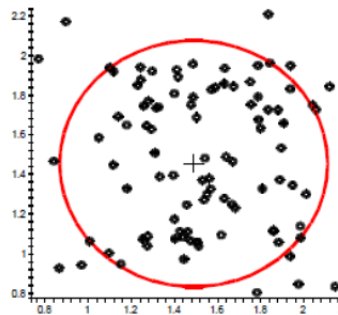
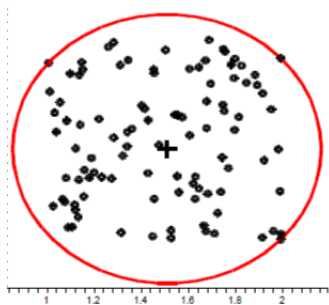
Primer encare : Tax and Duin (Support Vector Data Description, SVDD)

Encerrar los datos en una hiperesfera y classificar nuevos datos como normales si cae dentro de la hiperesfera o anomalo si cae afuera. También podemos suponer tolerancia al ruido.

Buscar una hiperesfera de centro  $\mathbf{a}$  (combinación lineal de vectores de soporte) y radio  $R$  que resuelvan el problema :

$$(P_1) \begin{cases} \min_{R, \mathbf{a}} R^2 + C \sum_{i=1}^n \xi_i \\ \text{sujeto a} \\ \|\Phi(\mathbf{x}_i) - \mathbf{a}\|^2 \leq R^2 + \xi_i & \forall i = 1, \dots, n \\ \xi_i \geq 0 & \forall i = 1, \dots, n \end{cases}$$

# One class SVM



Segundo encare : Scholkopf.

Separar en el espacio de características los puntos del origen de manera máxima pero permitir que  $\nu n$  de estos puntos estén entre el origen y el hiperplano.

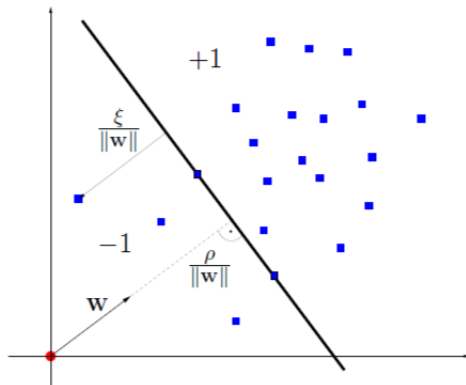
Busco un hiperplano de manera a separar los datos del origen (buscando el margen maximal).

$$(P_2) \left\{ \begin{array}{l} \min_{w, \xi_i, \rho} \frac{1}{2} \|w\|^2 + \frac{1}{\nu n} \sum_{i=1}^n \xi_i - \rho \\ \text{sujeto a} \\ w' \Phi(\mathbf{x}_i) \geq \rho - \xi_i \quad \forall i = 1, \dots, n \\ \xi_i \geq 0 \quad \forall i = 1, \dots, n \end{array} \right.$$

El clasificador final es

$$f(\mathbf{x}) = \text{sgn}(w' \Phi(\mathbf{x}) - \rho) = \text{sgn} \left( \sum_{i=1}^n \alpha_i k(\mathbf{x}, \mathbf{x}_i) - \rho \right)$$

# One class SVM



El parametro  $\nu \in (0, 1)$ , elegido por el usuario, juega el mismo papel que  $C$ , e impone la fracción de datos que le vamos a dar tolerancia a estar mal clasificados. Está probado que es una cota superior del error de aprendizaje y es una cota inferior de la fracción de vectores de soporte. El problema  $(P_2)$  es equivalente a

$$(P_2) \begin{cases} \max_{\xi_i, \rho} \rho - \frac{1}{\nu n} \sum_{i=1}^n \xi_i \\ \text{sujeto a} \\ w' \phi(\mathbf{x}_i) \geq \rho - \xi_i & \forall i = 1, \dots, n \\ \xi_i \geq 0 & \forall i = 1, \dots, n \\ \|w_i\| = 1 & \forall i = 1, \dots, n \end{cases}$$

# Minimización Riesgo Estructural

A diferencia de la mayoría de los métodos de clasificación que buscan minimizar el error empírico, *SVM* busca minimizar el riesgo estructural (*SRM*). Con probabilidad  $1 - \eta$ , Vapnik y Chervonenkis prueban :

$$\text{Error de generalización} \leq \text{Error empírico} + f(n, h, \eta) \quad (6)$$

donde  $f(n, h, \eta)$  es una función que depende de la cantidad de observaciones  $n$ , la complejidad de la clase de funciones discriminantes  $h$  (es la dimensión de Vapnik Chervonenkis) y de  $\eta$ . El principio *SRM* sugiere minimizar el lado derecho de la desigualdad (6) respecto de  $h$  en lugar del error empírico exclusivamente.

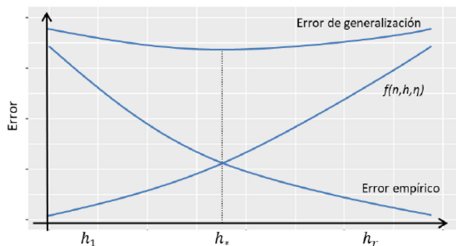


FIGURE – Minimización del riesgo estructural (*SRM*) : representación gráfica de la evolución de los errores al aumentar la complejidad ( $h$ ) (es la dimensión de Vapnik Chervonenkis) del modelo. Se observa que en  $h_*$  se encuentra el óptimo.

# Plan

- 1 SVM : Caso Linealmente Separable.
- 2 SVM : Soft Margin.
- 3 SVM : Caso no separable - Núcleos
- 4 SVM multiclass
- 5 SVM y probabilidades a posteriori**
- 6 SVM y regresión
- 7 Ejemplo en R.

Nos basamos en el hecho que la función de discriminación ideal

$$\ln \left( \frac{\mathbb{P}(Y = 1|X = \mathbf{x})}{\mathbb{P}(Y = -1|X = \mathbf{x})} \right)$$

debería tener igual signo que la función de discriminación  $H(\mathbf{x}) + b$ . Escribimos :

Nos basamos en el hecho que la función de discriminación ideal

$$\ln \left( \frac{\mathbb{P}(Y = 1|X = \mathbf{x})}{\mathbb{P}(Y = -1|X = \mathbf{x})} \right)$$

debería tener igual signo que la función de discriminación  $H(\mathbf{x}) + b$ . Escribimos :

$$\ln \left( \frac{\mathbb{P}(Y = 1|X = \mathbf{x})}{\mathbb{P}(Y = -1|X = \mathbf{x})} \right) = AH(\mathbf{x}) + B$$

y obtenemos una estimación de la probabilidad a posteriori

$$\mathbb{P}(Y = 1|X = \mathbf{x}) = \frac{1}{1 + \exp(AH(\mathbf{x}) + B)}$$

donde  $A$  y  $B$  están estimados por el método de máxima verosimilitud.

# Plan

- 1 SVM : Caso Linealmente Separable.
- 2 SVM : Soft Margin.
- 3 SVM : Caso no separable - Núcleos
- 4 SVM multiclass
- 5 SVM y probabilidades a posteriori
- 6 SVM y regresión**
- 7 Ejemplo en R.

# SVM y Regresión (SVR)

En SVR se busca seleccionar el “hiperplano” regresor que mejor se ajuste al conjunto de datos de entrenamiento. En este caso no se busca clasificar a una observación en alguna población, si no encontrar un “hiperplano” que minimice la distancia global entre  $H(\mathbf{x}) = \langle \boldsymbol{\beta}, \mathbf{x} \rangle + \beta_0$  y los  $y_1, y_2, \dots, y_n$ . Se quiere encontrar  $\boldsymbol{\beta}^*$  y  $\beta_0^*$  tales que :

$$(\boldsymbol{\beta}, \beta_0) = \underset{\boldsymbol{\beta}, \beta_0}{\operatorname{argmin}} \sum_{i=1}^n |y_i - \langle \boldsymbol{\beta}, \Phi(\mathbf{x}_i) \rangle + \beta_0|$$

con  $\Phi$  una función kernel. Para ello se utiliza una estrategia parecida al problema de clasificación utilizando las funciones kernel para encontrar un “hiperplano” en un “hiper-tubo” de radio  $\rho$  que contenga a las observaciones de  $\mathcal{L}$ .

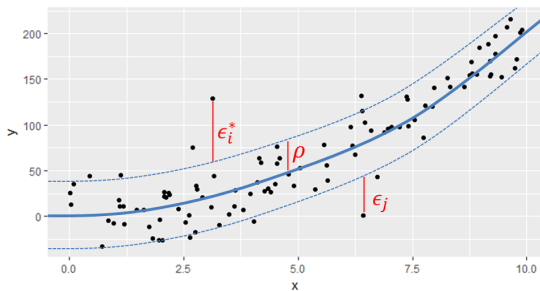


FIGURE – Hiperplano hallado para SVR. Se muestra el radio  $\rho$  del “hiper-tubo” y las variables de holgura de dos observaciones ( $\epsilon_i^*$  y  $\epsilon_j$ ).

A diferencia que las subsecciones anteriores, se definen dos variables de holgura  $\epsilon_i$  y  $\epsilon_i^*$ , que miden la distancia de una observación que está fuera del “hiper-tubo” respecto al hiperplano canónico más cercano. El problema de optimización es el siguiente :

$$\left\{ \begin{array}{l} \text{mín} \quad \frac{1}{2} \|\beta\|^2 + C \sum_{i=1}^n (\epsilon_i + \epsilon_i^*) \\ \text{s.a} \quad y_i - H(\mathbf{x}_i) \leq \rho + \epsilon_i^* \\ \quad \quad H(\mathbf{x}_i) - y_i \leq \rho + \epsilon_i \\ \quad \quad \epsilon_i, \epsilon_i^* \geq 0 \quad i = 1, 2, \dots, n \end{array} \right. \quad (7)$$

Para obtener el “hiperplano” solo se consideraran las observaciones denominadas vectores de soporte, en este caso son aquellas que se encuentran a distancia menor que  $\rho$  del hiperplano separador.

# Plan

- 1 SVM : Caso Linealmente Separable.
- 2 SVM : Soft Margin.
- 3 SVM : Caso no separable - Núcleos
- 4 SVM multiclass
- 5 SVM y probabilidades a posteriori
- 6 SVM y regresión
- 7 Ejemplo en R.

Las librerías más comunes en R para svm son e1071 y kernlab.

```
library(e1071)
>names(bcdata)

[1] Samplecodenumber ClumpThickness UniformityofCellSize UniformityofCellShape
[5] MarginalAdhesion SingleEpithelialCellSize BareNuclei BlandChromatin
[9] NormalNucleoli Mitoses Class

databcall <- subset(bcdata,select=c(-Samplecodenumber,-Class))
classesbcall <- subset(bcdata,select=Class)
databctrain <- databcall[1:400,]
classesbctrain <- classesbcall[1:400,]
databctest <- databcall[401:699,]
classesbctest <- classesbcall[401:699,]

model<-svm(databctrain,classesbctrain,kernel="polynomial",degree=3,cost=10)

pred <- predict(model, databctest)
```

```
>table(pred,t(classesbctest))
```

	benign	malignant
benign	227	4
malignant	2	66

```
>summary(model)
```

Parameters:

SVM-Type: C-classification

SVM-Kernel: polynomial

cost: 10

degree: 3

gamma: 0.1111111

coef.0: 0

Number of Support Vectors: 66

( 30 36 )

Number of Classes: 2

Levels:

benign malignant



Carmona, E., "**Tutorial sobre Máquinas de Vectores de Soporte (SVM)**", Universidad Nacional de Educación a Distancia (UNED), Madrid España, Julio 2014.



Cavallero, M., Paolillo, G, "**Support Vector Machines y comparación con otras técnicas de clasificación supervisada**", Monografía de grado, Licenciatura en Estadística, Udelar, 2018.



Hastie, T., Tibshirani, R., Friedman, J., "**The Elements of Statistical Learning, Data Mining, Inference and Prediction**", Springer, 2008.



James, G., Witten, D., Hastie, T., Tibshirani, R., "**An Introduction to Statistical Learning with applications in R**", Springer, 2013.



Platt, John C., "**Probabilistic Outputs for Support Vector Machines and Comparisons to Regularized Likelihood Methods**", Microsoft Research, Marzo 1999.



Tax, D. Duin, R. "**Support Vector Data Description**", Kluwer Academic Publishers, 2004.